

заменить условием согласования достаточно высокого порядка начальных данных с граничными.

Замечание 4.3. При наличии оценки диссипативного интеграла энергии для смешанной задачи II и теоремы существования достаточно гладкого ее решения из [5] следует, что решение задачи II принадлежит при всех  $t$ ,  $0 \leq t \leq T$ , пространству  $W_2^2(\mathbf{R}_+^2)$ .

## ЛИТЕРАТУРА

1. Численное решение многомерных задач газовой динамики/С. К. Годунов, А. В. Забродин, М. Я. Иванов и др.—М.: Наука, 1976.—400 с.
2. Курант Р., Фридрихс К., Леви Г. О разностных уравнениях математической физики // Успехи мат. наук.—1940.—Вып. 8.—С. 125—160.
3. Годунов С. К. Уравнения математической физики.—М.: Наука, 1979.—392 с.
4. Ладыженская О. А. Краевые задачи математической физики.—М.: Наука, 1973.—408 с.
5. Блохин А. М. Интегралы энергии в задаче об устойчивости ударной волны.—Новосибирск: Изд-во ИМ СО АН СССР, 1982.—176 с.
6. Рихтмайер Р., Мортон К. Разностные методы решения краевых задач.—М.: Мир, 1972.—418 с.
7. Блохин А. М., Алаев Р. Д. Об устойчивости модифицированной разностной схемы Mac Cormack'a для симметрической  $t$ -гиперболической системы // Корректные краевые задачи неклассических уравнений математической физики.—Новосибирск, 1984.—С. 24—42.
8. Алаев Р. Д., Блохин А. М. Исследование устойчивости разностной схемы В. В. Рusanova методом диссипативных интегралов энергии // Неклассические уравнения математической физики.—Новосибирск, 1985.—С. 23—38.
9. Блохин А. М. Построение устойчивых разностных схем для симметрической  $t$ -гиперболической системы // Тр. семин. С. Л. Соболева/АН СССР. Сиб. отд-ние. Ин-т математики.—1985.—№ 1.—С. 34—52.
10. Блохин А. М., Алаев Р. Д., Дружинин И. Ю. Устойчивость явных разностных схем для симметрических  $t$ -гиперболических систем // Тр. семин. С. Л. Соболева/АН СССР. Сиб. отд-ние. Ин-т математики.—1986.—№ 1.—С. 26—39.
11. Блохин А. М., Алаев Р. Д. Интегралы энергии в теории устойчивости ударных волн // Дифференциальные уравнения с частными производными: Тр. Междунар. конф. по диф. уравнениям с частн. производными.—Новосибирск, 1986.—С. 56—60.
12. Алаев Р. Д., Блохин А. М. Теоретическое и численное исследование разностной модели смешанной задачи для уравнений газовой динамики с граничными условиями на ударной волне // Неклассические уравнения и уравнения смешанного типа.—Новосибирск, 1983.—С. 66—83.
13. Алаев Р. Д., Блохин А. М. Существование достаточно гладкого решения линейной смешанной задачи для уравнения газовой динамики с граничными условиями на ударной волне // Тр. семин. С. Л. Соболева/АН СССР. Сиб. отд-ние. Ин-т математики.—1983.—№ 2.—С. 5—21.
14. Gourlay A. R., Mitchell A. R. Two-level difference schemes for hyperbolic systems // SIAM J. Numer. Anal.—1966.—V. 3, N 3.—P. 474—485.
15. Годунов С. К., Рябенький В. С. Разностные схемы.—М.: Наука, 1977.—440 с.

## РАСЧЕТ СТАЦИОНАРНОГО ФРОНТА ХИМИЧЕСКОЙ РЕАКЦИИ

C. В. КУЗНЕЦОВ

Работа посвящена описанию алгоритма расчета траекторий, соединяющих две особые точки системы дифференциальных уравнений, в частности расчета фронтов химических реакций.

Предлагаемый алгоритм основан на использовании метода Ньютона для отыскания решения нелинейных краевых задач и метода ортогональной прогонки, предложенного С. К. Годуновым в [1] и модифицированного в [2].

Следует отметить, что метод ортогональной прогонки используется как для решения краевых задач, так и для нахождения базиса подпространства входящих либо выходящих траекторий особой точки системы дифференциальных уравнений. Преимущество этого метода состоит в том, что он позволяет решать краевые задачи для систем дифференци-

альных уравнений с достаточно большим коэффициентом жесткости и на достаточно большом интервале.

Задача расчета траекторий, соединяющих особые точки, имеет две постановки — глобальную и локальную. Мы будем рассматривать только локальную задачу, которая заключается в том, что надо найти искомую траекторию (в случае расчета стационарного фронта химической реакции — еще и скорость распространения фронта), если известны (приблизительно) поведение искомой траектории и скорость распространения фронта.

Рассматриваются задачи вида

$$\frac{dV(x, \omega)}{dx} = F(V(x, \omega), \omega), \quad (1)$$

$$V(-\infty, \omega) = H, \quad V(+\infty, \omega) = G,$$

где  $V(x, \omega)$ ,  $F$ ,  $G$  и  $H$  — векторы размерности  $n$ , причем  $H$  и  $G$  заданы таким образом, что для любого  $\omega$  выполнены равенства  $F(H, \omega) = 0$  и  $F(G, \omega) = 0$ . Кроме того, предполагается, что матрицы  $F_v(H, \omega)$  и  $F_v(G, \omega)$  не имеют собственных чисел на мнимой оси, где  $F_v(V, \omega)$  — матрица Якоби, т. е. спектр вышеупомянутых матриц строго разделен осью ординат. Для данной задачи требуется определить параметр  $\omega$  и поведение траектории на всей числовой прямой. Естественно, что предлагаемый алгоритм может быть с успехом применен и к задаче

$$\frac{dV(x)}{dx} = F(V(x)), \quad (2)$$

$$V(-\infty) = H, \quad V(+\infty) = G,$$

где  $V$ ,  $F$ ,  $H$ ,  $G$  — векторы размерности  $n$ , причем  $H$  и  $G$  являются особыми точками данной системы дифференциальных уравнений. Как и в задаче (1), предполагается, что матрицы  $F_v(G)$  и  $F_v(H)$  не имеют собственных чисел, лежащих на мнимой оси. Поскольку алгоритм численного решения задачи (1) применим и к задаче (2), то далее наше внимание будет сосредоточено только на задаче (1).

Автор выражает искреннюю благодарность профессору С. К. Годунову за поддержку и внимание к работе, а также Г. А. Чумакову, Н. А. Чумаковой, С. И. Фадееву за полезные обсуждения.

## § 1. Алгоритм расчета

Как уже отмечалось выше, описываемый алгоритм является локальным, поэтому будем считать, что имеется некоторая заданная на всей числовой прямой вектор-функция  $V_0(x)$ , достаточно близкая к искомой траектории  $V(x, \omega)$ , а также определено некоторое число  $\omega_0$ , достаточно близкое к искомой скорости распространения фронта  $\omega$ . Понятно, что  $V_0(x)$  определяется так, что  $V_0(-\infty) = H$  и  $V_0(+\infty) = G$ .

Поскольку вектор-функция  $V(x, \omega)$  — решение задачи (1), то

$$\frac{dV(x, \omega)}{dx} = F(V(x, \omega), \omega).$$

Заметим, что

$$F(V(x, \omega), \omega) = F(V_0(x) + \bar{V}(x), \omega_0 + \bar{\omega}), \quad (3)$$

где  $\bar{V}(x) = V(x, \omega) - V_0(x)$ ,  $\bar{\omega} = \omega - \omega_0$ . Разлагая левую часть (3) в ряд Тейлора, можно утверждать, что с точностью до членов второго порядка малости верно равенство

$$F(V(x, \omega), \omega) = F(V_0(x), \omega_0) + F_v(V_0(x), \omega_0)\bar{V}(x) + \bar{\omega}F_\omega(V_0(x), \omega_0), \quad (4)$$

где  $F_v(V_0(x), \omega_0)$  — матрица Якоби,  $F_\omega(V_0(x), \omega_0)$  — производная левой части системы дифференциальных уравнений по параметру. Учитывая

(4), получаем, что  $V(x, \omega)$  с точностью до членов второго порядка малости является решением следующей системы дифференциальных уравнений:

$$\begin{aligned} \frac{dV(x, \omega)}{dx} = & F(V_0(x), \omega_0) + F_V(V_0(x), \omega_0)(V(x, \omega) - V_0(x)) + \\ & + (\omega - \omega_0)F_\omega(V_0(x), \omega_0). \end{aligned} \quad (5)$$

Поскольку  $\|H\| < \infty$  и  $\|G\| < \infty$ , то считая, что  $V_0(x)$  достаточно близка к искомой траектории, можно указать числа  $x_0$  и  $\bar{x}$  такие, что выполнены неравенства

$$\begin{aligned} \max_{x \in (-\infty, x_0)} \|V(x, \omega) - H\| &\leq \varepsilon, \\ \max_{x \in [\bar{x}, +\infty)} \|V(x, \omega) - G\| &\leq \varepsilon. \end{aligned} \quad (6)$$

Можно перейти от решения задачи (1) к решению краевой задачи для линейной системы дифференциальных уравнений на конечном интервале. Естественно, что этот переход осуществляется с некоторой потерей точности, и, расширяя интервал, можно получить более точное решение. Возникает проблема: как правильно поставить краевые условия? Краевые условия ставим исходя из следующих соображений.

В силу (6) можно утверждать, что

$$\begin{aligned} V(x_0, \omega) - H &= \sum_{i=1}^k \alpha_i u_i, \\ V(\bar{x}, \omega) - G &= \sum_{i=1}^p \beta_i v_i, \end{aligned}$$

где система векторов  $\{u_1, u_2, \dots, u_k\}$  является базисом подпространства выходящих траекторий особой точки  $H$ , а система  $\{v_1, v_2, \dots, v_p\}$  — входящих траекторий особой точки  $G$ . Левое граничное условие будем задавать в виде  $S(V(x_0, \omega) - H) = 0$ , где  $S$  — матрица размеров  $(n-k) \times n$ , причем система векторов  $\{u_1, u_2, \dots, u_k\}$  образует полный ортогональный базис подпространства векторов, удовлетворяющих условию  $Su = 0$ . Правое краевое условие задается равенством  $M(V(\bar{x}, \omega) - G) = 0$ , где  $M$  — матрица размеров  $(n-p) \times n$ , причем система векторов  $\{v_1, v_2, \dots, v_p\}$  образует полный ортогональный базис подпространства векторов, удовлетворяющих условию  $Mv = 0$ . Легко видеть, что  $\text{rank } M = n-p$ ,  $\text{rank } S = n-k$ .

Выше под базисом входящих (выходящих) траекторий понимался базис инвариантного подпространства векторов, отвечающих собственным числам с отрицательной (положительной) вещественной частью матрицы  $F_V(G, \omega_0)$  ( $F_V(H, \omega_0)$ ). Как находятся эти базисы, будет описано в следующем параграфе.

Таким образом, задача сводится к численному решению на конечном интервале краевой задачи

$$\begin{aligned} \frac{dV(x, \omega)}{dx} = & F(V_0(x), \omega_0) + F_V(V_0(x), \omega_0)(V(x, \omega) - V_0(x)) + \\ & + (\omega - \omega_0)F_\omega(V_0(x), \omega_0), \\ SV(x_0, \omega) = & SH, \quad MV(\bar{x}, \omega) = MG. \end{aligned} \quad (7)$$

Необходимым условием разрешимости задачи (7) является условие  $k+1 = n-p$ , поскольку в левой части дифференциального уравнения присутствует параметр  $\omega$ , который требуется определить. В ходе численных экспериментов краевая задача (7) решалась методом ортогональной прогонки, подробно описанным в [2].

Численно определив  $V(x, \omega)$  и скорость распространения  $\omega$ , далее полагаем  $\omega_0 = \omega$ ,  $V_0(x) = V(x, \omega)$ . Так как краевые условия в силу вы-

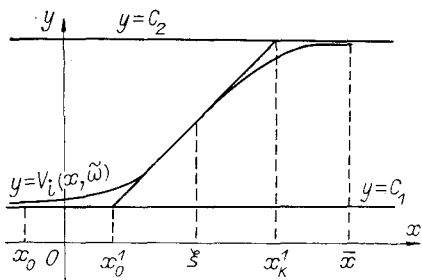


Рис. 1. Вычисление ширины фронта.

же решение задачи (1), поэтому при численной реализации алгоритма происходят сдвиги траектории по оси абсцисс. Для того чтобы этого не происходило, предлагается держать середину траектории в середине выбранного интервала  $[x_0, \bar{x}]$ . В качестве середины траектории предлагается взять значение

$$\xi = \left( \int_{x_0}^{\bar{x}} x V'_i(x, \omega) dx \right) / \left( \int_{x_0}^{\bar{x}} V'_i(x, \omega) dx \right),$$

где  $i$  — номер какой-либо компоненты вектор-функции  $V(x, \omega)$ .

В некоторых случаях не удается добиться сходимости к искомой траектории на выбранном интервале с помощью метода Ньютона. При возникновении таких ситуаций необходимо расширить интервал так, чтобы его длина была равна  $n\eta$ , где  $\eta$  — величина, которую будем называть шириной фронта (определение будет дано ниже), а  $n$  — наперед заданное натуральное число, обычно заключенное в пределах  $2 \leq n \leq 7$ .

Пусть

$$C_1 = \min_{x \in (-\infty, +\infty)} V_i(x, \omega), \quad C_2 = \max_{x \in (-\infty, +\infty)} V_i(x, \omega).$$

Проведем касательную к траектории  $y = V_i(x, \omega)$  в точке  $\xi$  — середине фронта — и определим точки  $x_0^1$  и  $x_k^1$  пересечения этой касательной с прямыми  $y = C_1$  и  $y = C_2$ . Величину  $\eta = x_k^1 - x_0^1$  будем называть шириной фронта (см. рис. 1). Далее расширяем интервал, если это требуется, так, чтобы его длина была равна  $n\eta$ . Кроме того, делаем сдвиг траектории так, чтобы середина траектории и середина интервала совпадали. Доопределение компонент вектор-функции  $V(x, \omega)$  в случае сдвига траектории или расширения интервала может происходить различными способами, в частности интегрированием линеаризованной системы. Вышеописанную процедуру рекомендуется проводить перед осуществлением каждой итерации методом Ньютона.

## § 2. Постановка краевых условий

Пусть дана квадратная матрица  $A$  порядка  $n$ . Предположим, что или известна размерность инвариантного подпространства векторов, отвечающих собственным числам с положительной (отрицательной) вещественной частью, или у матрицы  $A$ , базисы подпространств которой предстоит выделить, нет собственных чисел кратности больше чем два.

Зададим некоторую ортогональную матрицу  $Q_0$ . Пусть  $q_1^{(0)}, q_2^{(0)}, \dots, q_n^{(0)}$  — столбцы матрицы  $Q_0$ . Допустим что требуется выделить базис инвариантного подпространства векторов, соответствующих собственным числам с положительной вещественной частью. Для этого задаем поло-

шесказанного зависят от  $\omega$ , то определяем новые краевые условия и, решая краевую задачу, получаем более близкую к искомой траектории. Алгоритм прекращает работу при выполнении следующих неравенств:

$$\max_{x \in [x_0, \bar{x}]} \|V(x, \omega) - V_0(x)\| \leq \delta,$$

$$|\omega - \omega_0| < \delta.$$

Заметим, что если  $W(x, \omega)$  — решение задачи (1), то  $W(x + \text{const}, \omega)$  тоже решение задачи (1), поэтому при численной реализации алгоритма

происходят сдвиги траектории по оси абсцисс. Для того чтобы этого не происходило, предлагается держать середину траектории в середине выбранного интервала  $[x_0, \bar{x}]$ . В качестве середины траектории предла-

гается взять значение

$$\xi = \left( \int_{x_0}^{\bar{x}} x V'_i(x, \omega) dx \right) / \left( \int_{x_0}^{\bar{x}} V'_i(x, \omega) dx \right),$$

где  $i$  — номер какой-либо компоненты вектор-функции  $V(x, \omega)$ .

В некоторых случаях не удается добиться сходимости к искомой траектории на выбранном интервале с помощью метода Ньютона. При возникновении таких ситуаций необходимо расширить интервал так, чтобы его длина была равна  $n\eta$ , где  $\eta$  — величина, которую будем называть шириной фронта (определение будет дано ниже), а  $n$  — наперед заданное натуральное число, обычно заключенное в пределах  $2 \leq n \leq 7$ .

Пусть

$$C_1 = \min_{x \in (-\infty, +\infty)} V_i(x, \omega), \quad C_2 = \max_{x \in (-\infty, +\infty)} V_i(x, \omega).$$

Проведем касательную к траектории  $y = V_i(x, \omega)$  в точке  $\xi$  — середине фронта — и определим точки  $x_0^1$  и  $x_k^1$  пересечения этой касательной с прямыми  $y = C_1$  и  $y = C_2$ . Величину  $\eta = x_k^1 - x_0^1$  будем называть шириной фронта (см. рис. 1). Далее расширяем интервал, если это требуется, так, чтобы его длина была равна  $n\eta$ . Кроме того, делаем сдвиг траектории так, чтобы середина траектории и середина интервала совпадали. Доопределение компонент вектор-функции  $V(x, \omega)$  в случае сдвига траектории или расширения интервала может происходить различными способами, в частности интегрированием линеаризованной системы. Вышеописанную процедуру рекомендуется проводить перед осуществлением каждой итерации методом Ньютона.

## § 2. Постановка краевых условий

Пусть дана квадратная матрица  $A$  порядка  $n$ . Предположим, что или известна размерность инвариантного подпространства векторов, отвечающих собственным числам с положительной (отрицательной) вещественной частью, или у матрицы  $A$ , базисы подпространств которой предстоит выделить, нет собственных чисел кратности больше чем два.

Зададим некоторую ортогональную матрицу  $Q_0$ . Пусть  $q_1^{(0)}, q_2^{(0)}, \dots, q_n^{(0)}$  — столбцы матрицы  $Q_0$ . Допустим что требуется выделить базис инвариантного подпространства векторов, соответствующих собственным числам с положительной вещественной частью. Для этого задаем поло-

жительный шаг интегрирования  $h$ . Рекомендуется выбирать величину этого шага, равной  $1/\|A\|$ . Численным интегрированием получаем векторы  $z_1^{(0)}(h), z_2^{(0)}(h), \dots, z_n^{(0)}(h)$  как решения задач Коши

$$\frac{dz_j^{(0)}(t)}{dt} = Az_j^{(0)}(t), \quad z_j^{(0)}(0) = q_j^{(0)}.$$

Составляем матрицу  $Z_0$ , столбцы которой суть соответственно  $z_1^{(0)}(h), z_2^{(0)}(h), \dots, z_n^{(0)}(h)$ . Разлагаем преобразованиями Хаусхолдера матрицу  $Z_0$  в произведение ортогональной и верхне-треугольной матриц. Таким образом получаем равенство  $Z_0 = Q_1 R_1$ , где  $Q_1^* Q_1 = I_n$  и  $r_{ij}^{(1)} = 0$  при  $i > j$ .

Далее действуем следующим образом.

1°. Пусть  $q_1^{(k)}, q_2^{(k)}, \dots, q_n^{(k)}$  — столбцы матрицы  $Q_k$ . Каждому вектору  $q_j^{(k)}$  сопоставляем вектор  $z_j^{(k)}(h)$ , полученный численным интегрированием задачи Коши

$$\frac{dz_j^{(k)}(t)}{dt} = Az_j^{(k)}(t), \quad z_j^{(k)}(0) = q_j^{(k)}.$$

2°. Строим матрицу  $Z_k$ , столбцы которой суть векторы  $z_1^{(k)}(h), z_2^{(k)}(h), \dots, z_n^{(k)}(h)$ . Разлагаем матрицу  $Z_k$  в произведение двух матриц: ортогональной  $Q_{k+1}$  и верхнетреугольной  $R_{k+1}$ , т. е.  $Z_k = Q_{k+1} R_{k+1}$ . Заметим, что  $Z_k = e^{hA} Q_k$ , где  $e^{hA}$  — матричная экспонента; подробнее см. [3]. Таким образом, последовательность ортогональных  $Q_k$  и верхне-треугольных матриц  $R_k$  строится по следующим рекуррентным формулам:

$$\begin{aligned} e^{hA} Q_0 &= Z_0 = Q_1 R_1, \\ e^{hA} Q_1 &= Z_1 = Q_2 R_2, \\ &\dots \dots \dots \\ e^{hA} Q_k &= Z_k = Q_{k+1} R_{k+1}. \end{aligned}$$

Нетрудно заметить, что данная схема есть не что иное, как ортогонально-степенной метод Воеводина — Браузера для определения собственных чисел. Утверждается (см., например, [6]), что матрица  $Q_k^* e^{hA} Q_k$  при  $k \rightarrow \infty$  сходится к квазитреугольной матрице

$$\bar{A} = \left[ \begin{array}{c|c|c|c} A_{11} & & & \\ \hline & A_{22} & & \\ \hline 0 & & \ddots & \\ & & & A_{kk} \end{array} \right],$$

где клетки  $A_{ii}$  имеют одинаковые по абсолютной величине собственные числа, причем, если  $\lambda_1^j, \lambda_2^j, \dots, \lambda_{m_j}^j$  — собственные матрицы  $A_{jj}$ , где  $m_j$  — размер выделенной клетки, то (см., например, [6, 7])

$$\begin{aligned} |\lambda_1^1| &= |\lambda_2^1| = \dots = |\lambda_{m_1}^1| > |\lambda_1^2| = |\lambda_2^2| = \dots = |\lambda_{m_2}^2| > \dots \\ &\dots > |\lambda_1^k| = |\lambda_2^k| = \dots = |\lambda_{m_k}^k| \end{aligned}$$

Кроме того, если  $\{\lambda_j\}_{j=1}^p$  — набор собственных чисел матрицы  $A$ , то  $\{e^{h\lambda_j}\}_{j=1}^p$  — набор собственных чисел матрицы  $e^{hA}$ , причем если  $\lambda_s$  — собственное число матрицы  $A$  кратности  $l$ , то собственное число  $e^{h\lambda_s}$  матрицы  $e^{hA}$  тоже кратности  $l$ . Ясно, что собственный вектор, соответствующий собственному числу  $\lambda_p$  матрицы  $A$ , является собственным век-

тором, соответствующим собственному числу  $e^{\lambda p}$  матрицы  $e^{tA}$ . Поскольку  $0 \leq |e^{\lambda j}| \leq 1$  при  $\operatorname{Re} \lambda_j \leq 0$  и  $|e^{\lambda j}| \geq 1$  при  $\operatorname{Re} \lambda_j \geq 0$ , где  $\lambda_j$  — собственные числа матрицы  $A$ ,  $t > 0$ , то инвариантное подпространство матрицы  $A$ , отвечающее собственным числам с положительной (отрицательной) вещественной частью, и инвариантное подпространство матрицы  $e^{tA}$ , отвечающее собственным числам по абсолютной величине больше единицы (меньше единицы), совпадают.

Пусть матрица  $Q_N$  такая, что

$$\|Q_N^* e^{tA} Q_N - Q_{N-1}^* e^{tA} Q_{N-1}\| \leq \varepsilon,$$

где  $\varepsilon$  достаточно мало. Тогда первые  $s$  столбцов матрицы  $Q_N$  образуют требуемый базис, где  $s$  — размерность инвариантного подпространства. Таким образом, если неизвестна размерность инвариантного подпространства, ее требуется определить.

Если у матрицы  $A$  нет собственных чисел кратности больше, чем два, размеры выделенных клеток тоже не превышают двух, поэтому можно вычислить собственные числа каждой матрицы  $A_{jj}$ . Следовательно, можно указать такой номер  $i_0$ , что все собственные числа матриц  $A_{11}, A_{22}, \dots, A_{i_0 i_0}$  по абсолютной величине больше единицы, а у матриц  $A_{i_0+1, i_0+1}, A_{i_0+2, i_0+2}, \dots, A_{kk}$  собственные числа по абсолютной величине меньше единицы. Тогда  $m = m_1 + m_2 + \dots + m_{i_0}$  — искомая размерность инвариантного подпространства и первые  $m$  столбцов матрицы  $Q_N$  образуют требуемый базис, где  $m_i$  — размер клетки  $A_{ii}$ .

Для того чтобы получить базис инвариантного подпространства векторов, соответствующих собственным числам с отрицательной вещественной частью, необходимо задать шаг интегрирования  $h$  отрицательным.

### § 3. Результаты численных экспериментов

**Пример 1.** Рассмотрим трехмерную систему дифференциальных уравнений, описывающую распространение теплового фронта в слое катализатора (см. [9]). Данная система имеет вид

$$\begin{aligned} u' &= -a_1(u - z) - a_2(u - v), \\ v' &= k_2(u)(v - \alpha z), \\ z' &= k_1(u)z, \end{aligned} \tag{8}$$

где

$$\begin{aligned} k_1(u) &= \begin{cases} \frac{k_{10}}{1 - \sigma\omega} \exp\left(\frac{\theta_s(1-u)}{1 + b\theta_s(1-u)}\right) & \text{при } u < u_0, \\ 0 & \text{при } u_0 \leq u \leq 1, \end{cases} \\ k_2(u) &= \begin{cases} \frac{k_{20}}{1 - \sigma\omega} \exp\left(\frac{v\theta_s(1-u)}{1 + b\theta_s(1-u)}\right) & \text{при } u < u_0, \\ 0 & \text{при } u_0 \leq u \leq 1, \end{cases} \\ a_1 &= (1 - \sigma\omega)Q_1x_0/\theta_s, \quad a_2 = (1 - \sigma\omega)Q_2(1 - y_0)/\theta_s, \\ \alpha &= x_0/(1 - y_0). \end{aligned}$$

Параметр  $\omega$  определяется через максимальную температуру во фронте  $\theta_s$  по следующей формуле:

$$\omega = [\theta_s - (Q_1x_0 + Q_2(1 - y_0))] / [\theta_s - \sigma(Q_1x_0 + Q_2(1 - y_0))].$$

Требуется для заданного значения температуры срезки  $u_0$  найти траекторию, соединяющую особую точку  $u = v = z = 0$  с особой точкой  $u = u_0, v = z = 1$ , и значение параметра  $\theta_s$ , при котором существует такая

Таблица 1

Номер варианта	$k_{10}$	$k_{20}$	$v$	$b$	$\sigma$	$x_0$	$y_0$	$Q_1$	$Q_2$	$u_0$	Полученные значения $\theta_s$
1	$10^{-3}$	$10^{-4}$	1	0.07	$10^{-3}$	1	0	4	12	0.88	27.6491
2	$10^{-3}$	$10^{-4}$	1	0.07	$10^{-3}$	1	0	4	12	0.92	27.6363

траектория. Таким образом, требуется решить задачу (1) с неизвестным параметром в левой части системы дифференциальных уравнений.

Были просчитаны два варианта данной задачи при значениях параметров, указанных в табл. 1. Там же приведены полученные значения максимальной температуры во фронте  $\theta_s$ .

Пример 2. Рассмотрим задачу нахождения решения типа бегущей волны для уравнения (см. [10, 11])

$$\frac{\partial u}{\partial t} = u(1-u) + \frac{\partial^2 u}{\partial x^2}. \quad (9)$$

Решение типа бегущей волны может быть записано в форме

$$u(x, t) = f(z), \quad z = x + ct, \quad (10)$$

где  $c$  — скорость волны. Поскольку уравнение (9) инвариантно относительно замены  $x$  на  $-x$ , скорость  $c$  может быть положительной или отрицательной; для определенности будем считать  $c$  положительной, так что (10) представляет волну, движущуюся в отрицательном направлении оси  $x$ . После подстановки (10) в (9) для функции  $f(z)$  имеем

$$f'' - cf' + f(1-f) = 0, \quad (11)$$

где штрих означает дифференцирование по  $z$ .

Доказано (см., например, [11, разд. 5.3]), что для  $c \geq c_{\min} = 2$  существуют непрерывные волновые решения (9) в форме (10), для которых

$$\lim_{z \rightarrow -\infty} f(z) = 0, \quad \lim_{z \rightarrow +\infty} f(z) = 1, \quad (12)$$

причем  $0 \leq f \leq 1$ .

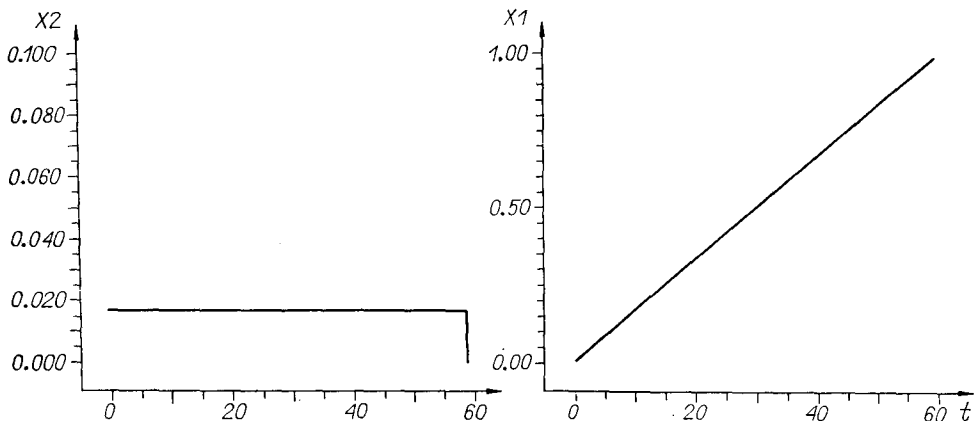


Рис. 2. Начальное приближение.

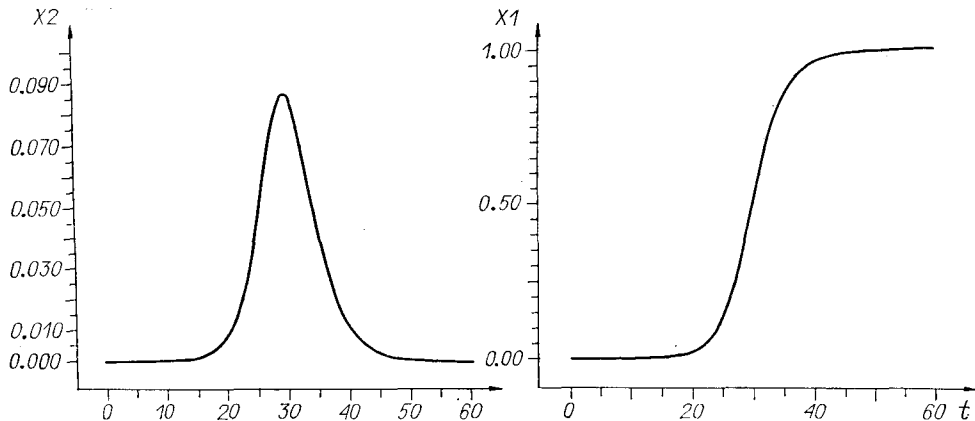


Рис. 3. Искомые траектории.

Таким образом, для  $c > c_{\min} = 2$  требуется найти численное решение задачи

$$x_1' = x_2, \quad x_2' = cx_2 + x_1(x_1 - 1), \quad (13)$$

$$x_1 = 0, \quad x_2 = 0 \quad \text{при } t = -\infty, \quad (14)$$

$$x_1 = 1, \quad x_2 = 0 \quad \text{при } t = +\infty.$$

Численное решение задачи (13)–(14) приводилось при  $c = 3$ . На рис. 2 изображено начальное приближение, а на рис. 3 – искомые траектории.

#### ЛИТЕРАТУРА

- Годунов С. К. О численном решении краевых задач для систем линейных обыкновенных дифференциальных уравнений // Успехи мат. наук.—1961.—Т. 16, вып. 3.—С. 171–174.
- Кузнецов С. В. Решение краевых задач для обыкновенных дифференциальных уравнений // Вычислительные методы линейной алгебры: Тр./АН СССР. Сиб. отд-ние. Ин-т математики.—1985.—Т. 6.—С. 85–109.
- Годунов С. К., Гордиенко В. М. Матрица Грина краевой задачи для обыкновенных дифференциальных уравнений // Успехи мат. наук.—1984.—Т. 39, вып. 1.—С. 40–76.
- Годунов С. К. Метод ортогональной прогонки для решения систем разностных уравнений // Журн. вычисл. математики и мат. физики.—1962.—Т. 2, № 6.—С. 972–982.
- Годунов С. К. Решение систем линейных уравнений.—Новосибирск: Наука, 1980.—177 с.
- Воеводин В. В. Решение полной проблемы собственных значений степенными методами // Вычислительные методы и программирование.—М., 1965.—С. 7–55.
- Кублановская В. Н. О некоторых алгоритмах для решения полной проблемы собственных значений // Журн. вычисл. математики и мат. физики.—1961.—Т. 1, № 2.—С. 555–570.
- Воеводин В. В. Вычислительные основы линейной алгебры.—М.: Наука, 1977.—304 с.
- Киселев О. В., Матрос Ю. Ш. Тепловой фронт в слое катализатора при протекании последовательных реакций // Физика горения и взрыва.—1985.—Т. 21, № 2.—С. 66–70.
- Колмогоров А. Н., Петровский И. Г., Пискунов Н. С. Исследование уравнения диффузии, соединенной с возрастанием количества вещества, и его применения к одной биологической проблеме // Бюл./Моск. гос. ун-т. Секц. А.—1937.—Т. 1, № 6.—С. 1–26.
- Марри Дж. Нелинейные дифференциальные уравнения в биологии. Лекции о моделях.—М.: Мир, 1983.—397 с.